

九州大学工学部 正員 小岸清真  
同 大学院 学生員 ○猪方信英

## I. まえがき

地震時杭基礎の横抵抗に関する従来の理論は、杭頭に水平力を作用させた場合を取り扱っている。著者は、先に地盤の変形を考慮に入れると従来の理論値に比し、非常に大きな拘束モーメントが生ずる事を示した。ここでは、長さおよびセン断弾性係数Gの値が深さ方向に一次的に増加する場合の理論計算値を示すとともに、実験を行なったので、この結果についても報告する。

## II. 地盤の変形を考慮に入れた杭基礎の横抵抗理論

杭の周囲の地盤はセン断変形を行なうものとし、この深さと杭の径をd、単位体積重量をg、断面積をA、曲げ剛さをEI、杭の上端の載荷重量をW、地盤のセン断弾性係数をGm、単位体積重量をg、反応係数をKとすると、下層基盤の地震動を $(d^2\bar{y}/w^2) \sin \omega t$ 、杭および地盤の水平変位の絶対座標を $\bar{u}$ 、 $\bar{y}$ とすると、杭について次の微分方程式が成り立つ。

$$\frac{\partial^2}{\partial z^2} (EI \frac{\partial^2 \bar{y}}{\partial z^2}) = -\frac{WA}{g} \frac{\partial^2 \bar{y}}{\partial t^2} + P_m \quad (1)$$

$P_m$ は次式で与えられる。

$$P_m = K(z)d(\bar{u} - \bar{y}) - \frac{W_m f d}{g} \frac{\partial^2 \bar{y}}{\partial t^2} \quad (2)$$

$g$ は重力の加速度、 $W_m f d$ は杭の単位長に附着すると考えられる土の重量である。

$\bar{u}$ については

$$\frac{\partial^2}{\partial z^2} (G_m z \frac{\partial^2 \bar{u}}{\partial z^2}) = \frac{W_m}{g} \frac{\partial^2 \bar{u}}{\partial t^2} \quad (3)$$

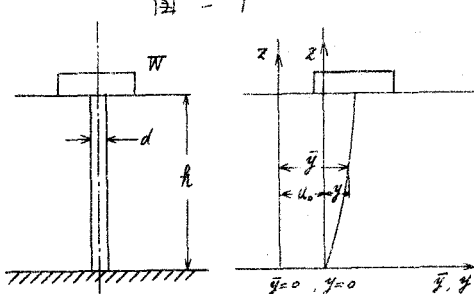
を解く事により求められる。上式の境界条件としては、

$$\begin{aligned} (i) z = 0 &: \bar{u} = u_0 \\ (ii) z = h &: G_m \frac{\partial \bar{u}}{\partial z} = 0 \end{aligned} \quad \left. \right\} \quad (4) \quad \begin{aligned} \bar{y} &= u_0 + y \\ \bar{u} &= u_0 + u \end{aligned} \quad \left. \right\} \quad (5)$$

とすればよい。 $u_0$ は下層基盤の地震動 $(d^2\bar{y}/w^2) \sin \omega t$ を表す。杭の境界条件として、杭の上端で回転拘束、下端において変位拘束、回転自由の場合を取り扱った。

即ち、

$$\begin{aligned} (i) z = 0 &: \bar{y} = u_0 \\ & EI \frac{\partial^2 \bar{y}}{\partial z^2} = 0 \\ (ii) z = h &: \frac{\partial \bar{y}}{\partial z} = 0 \\ & EI \frac{\partial^3 \bar{y}}{\partial z^3} = W/g \cdot \frac{\partial^2 \bar{y}}{\partial t^2} \end{aligned} \quad \left. \right\} \quad (6)$$



$G_0(z)$ ,  $K(z)$  は次式で与えられるものとする。

$$G_0(z) = G_0(1 - \frac{z}{h})$$

$$K(z) = K_0(1 - \frac{z}{h})$$

ここで  $G_0$  は地盤最下部のせん断弾性係数を、 $K_0$  はおなじく水平反応係数を表す。

曲げモーメントの分布を示せば図-2の様になる。

図-2において、例えば  $K_{16}G_{40}$  ( $w=0.0$ ) は  $K_0=16$  倍

$G_0=40 \text{ kg/cm}^2$ ,  $w=0.0$  の場合を意味する。

図からわかる如く杭に、杭の地震に近い部分に大きな曲げモーメントが生じている。

一般には、杭の上部において、大きなモーメントが生ずる例であるが、しかし実際には、液動土圧との関係もあり、図示の様なモーメント分布とは多少異なるものと思われる。これらについて今後詳説を進めて行くつもりである。

尚、数値計算には九大電子計算機 OKITAC-5090 を使用した。

### III 模型実験

杭としてエポキシ樹脂を、載荷重量としてコンクリートを使用し、図のようにエポキシ樹脂の頭部をコンクリート中に埋め込んで、杭頭回転拘束の状態とした。ゲージの位置は図に示す通りである。

振動台および頭部コンクリートに加速度計を設置し、振動台および杭頭の加速度と杭の歪を測定した。

また、この場合の杭頭コンクリートの加速度に比例する慣性力を求め、これに相当する力を静的に杭頭に加えて地盤の変形を考慮しない場合の静的な歪を測定し、前者の動的歪と比較し、前者が後者より相当大きくなることを確認した。

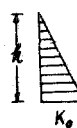
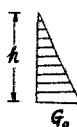


図-2

モーメント図

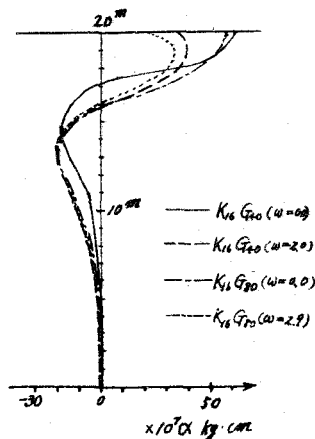
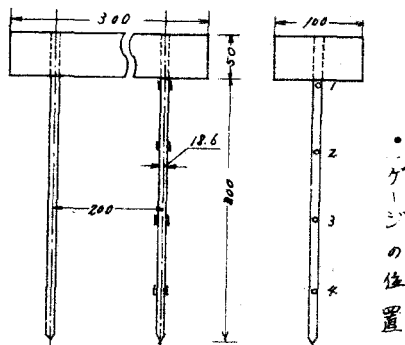


図-3



ゲージの位置

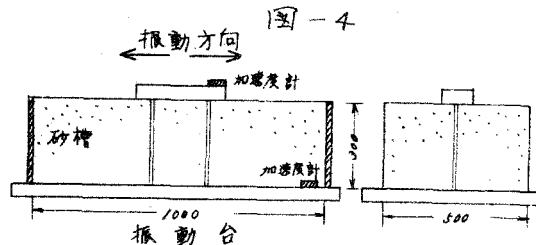


図-4

### 参考文献

(1) 小牛・猪方： 杭基礎の地震時横抵抗に及ぼす地盤変形の影響

昭和40年度 土木学会西部支部研究会